

- [9] Ступченко Е.В., Лосев С.А., Осипов Л.И.
Релаксационные процессы в ударных волнах. М.: Наука, 1965.
- [10] Эбелинг В. Образование структур при необратимых процессах. М.: Мир, 1979.
- [11] Ткаченко Б.К. В сб.: Высокотемпературная газодинамика, ударные трубы и ударные волны / Под ред. Р.И. Соловьева. Минск, 1983, с. 46-51.

Физико-технический институт
им. А.Ф. Иоффе АН СССР,
Ленинград

Поступило в Редакцию
18 июля 1988 г.
В окончательной редакции
10 ноября 1988 г.

Письма в ЖТФ, том 15, вып. 2

26 января 1989 г.

02

НОВЫЕ ДАННЫЕ ПО ДИССОЦИАТИВНОЙ ИОНИЗАЦИИ CO_2 ЭЛЕКТРОННЫМ УДАРОМ

А.И. Жуков, А.Н. Завилопуло,
А.В. Снегурский, О.Б. Шпеник

К настоящему времени достаточно полно изучена диссоциативная ионизация двухатомных молекул типа H_2 , N_2 , C_2 , а для более сложных молекул, исключая, пожалуй, N_2O , комплексные исследования не проводились. Попутно заметим, что имеющиеся данные, полученные разными авторами, недостаточно согласуются между собой, а в некоторых случаях противоречат друг другу [1]. В данной работе впервые проведены комплексные исследования иловых распределений и энергетических спектров ионов O^+ и CO^+ , образующихся в результате диссоциативной ионизации молекул CO_2 электронным ударом.

Исследования проводились на установке с пересекающимися газодинамическим молекулярным и электронным пучками. Анализ ионов по массам проводился монопольным масс-спектрометром (МС) типа МХ-7301, источником электронов служила вращающаяся четырехэлектродная электронная пушка. Пушка и МС располагались в плоскости, перпендикулярной оси молекулярного пучка, а угол между направлением электронного пучка и направлением анализа ионов мог изменяться от 40° до 140° . Энергетический анализ ионов осуществлялся методом задерживающего потенциала, для чего на входе в МС размещалась трехэлектродная ионно-оптическая система. Детектирование ионов на выходе МС производилось КЭУ, а накопление и обработка сигнала велись измерительно-вычислительным комплексом на базе многоканального анализатора импульсов и микро-ЭВМ.

В ходе экспериментов в условиях однократности столкновений при различных энергиях бомбардирующих электронов (45-150 эВ) изучались

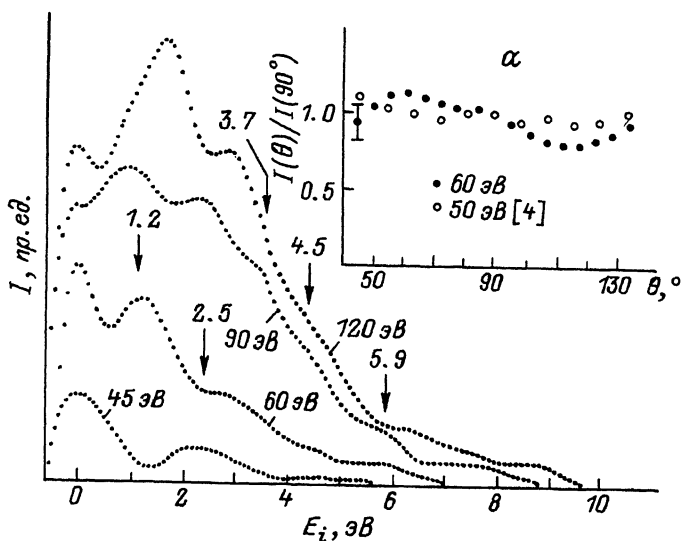


Рис. 1. Энергетические спектры ионов O^+ . Стрелками отмечены положения особенностей кривых.

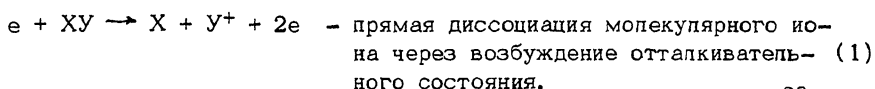
Угловые распределения ионов O^+ (а).

лись угловые распределения продуктов диссоциативной ионизации и энергетические спектры образующихся ионов. Давление остаточных газов в области столкновений не превышало $2 \cdot 10^{-6}$ Тор, плотность частиц пучка составляла $\sim 10^{11} \text{ см}^{-3}$, ток электронов - 20-40 мкА. Калибровка шкалы энергий производилась по положению максимума распределений тепловых ионов CO_2^+ .

Некоторые из полученных результатов приведены на рис. 1 и 2. Отработка методики и ее корректности тщательно проводилась на пучке H_2 . Результаты измерений оказались в удовлетворительном согласии с данными работы [2].

Как видно из рис. 1, энергетическое распределение ионов O^+ , измеренное при энергии столкновения 45 эВ, имеет два максимума. Кривые, полученные при более высоких энергиях, обнаруживают три хорошо разрешенных максимума, а также ряд особенностей в более высокоэнергетичной области.

Для интерпретации полученных данных воспользуемся известными потенциальными кривыми низких состояний иона CO_2^+ [3] (рис. 3). На этом же рисунке отложены и потенциалы появления ионов O^+ ($E_1 - E_4$) и CO^+ (E') [4], а также некоторые пределы диссоциации. Известны три механизма диссоциативной ионизации молекулы электронным ударом 1, 5 :



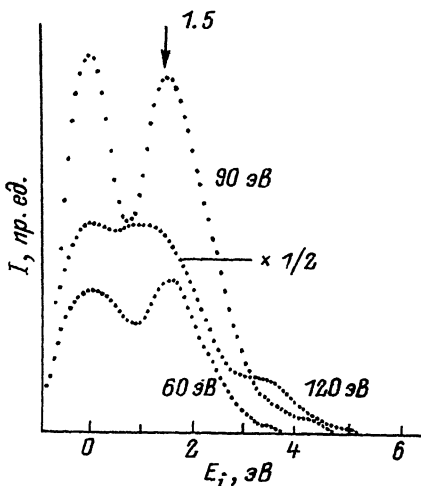
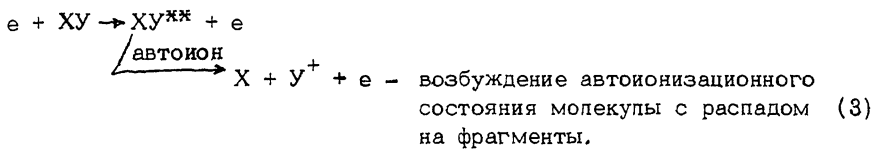
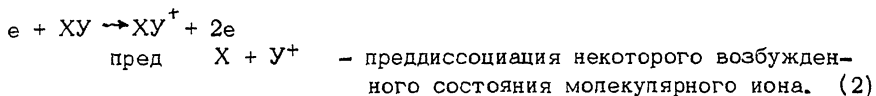


Рис. 2. Энергетические спектры ионов CO_2^+ .



Процессы (2) и (3) протекают за время, сравнимое с периодом вращения молекулы, что обусловливает изотропное угловое распределение фрагментов. В случае же прямой диссоциации (процесс (1)) распад некоторых состояний может давать анизотропию угловых распределений [1].

Анализируя полученные результаты и данные других работ, прежде всего можно сделать вывод о том, что тепловые ионы O^+ должны рождаться в процессе с порогом E_1 (см. рис. 3), причем наиболее вероятным механизмом их образования может быть преддиссоциация колебательно возбужденных уровней состояния $B^2\Sigma_u^+$ или основного и возбужденных уровней состояния $C^2\Sigma_g^+$, в зависимости от типа симметрии отталкивателяного состояния, через которое идет преддиссоциация (механизм (2)). Вклад в этот процесс колебательно возбужденных уровней состояния $A^2\Pi_u$, согласно принципу Франка-Кондона, должен быть небольшим. В пределе диссоциации ион O^+ должен находиться в основном состоянии (4S), а фрагмент CO - в основном состоянии $X^1\Sigma^+$ с $J = 0, 1, 2$.

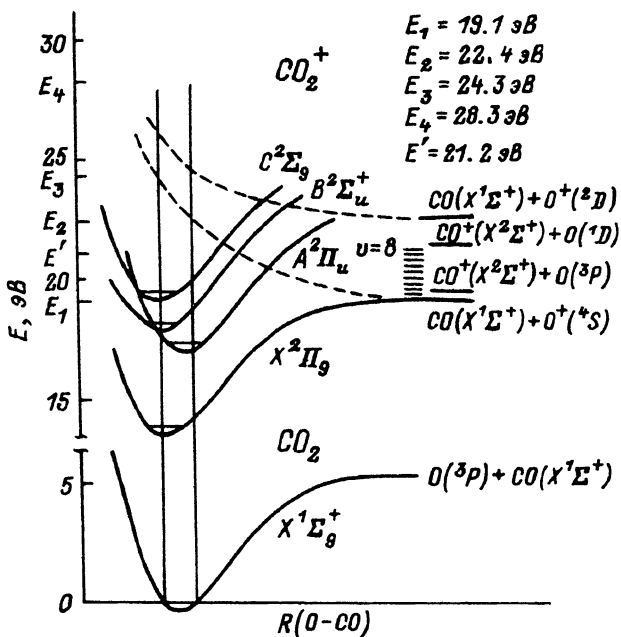


Рис. 3. Потенциальные кривые некоторых состояний иона CO_2^+ .

Вторая группа ионов O^+ , проявляющаяся на всех кривых (см. рис. 1), имеет энергию в максимуме распределения ~ 2.5 эВ. Ионы такой энергии могут образовываться в процессе с порогом E_2 . В этом случае диссоциация должна происходить через отталкивательное состояние, дающее в пределе фрагменты O^+ и CO в основных состояниях (механизм (1)). Ранее [4] высказывалось предположение, что таким состоянием должно быть Σ_u^+ -состояние иона CO_2^+ , так как только переход $\Sigma_g^+(\text{CO}_2) \rightarrow \Sigma_u^+(\text{CO}_2^+)$ может приводить к наблюдавшейся в [4] анизотропии разлета ионов O^+ . Потенциальная кривая этого состояния должна пересекать франк-кондновскую область в диапазоне энергий, близких к E_2 . Предполагаемый ход этой кривой показан на рис. 3 пунктиром. Для выполнения условия непересекаемости электронная конфигурация этого состояния должна отличаться от терма $B^2\Sigma_u^+$ мультиплетностью.

Появление группы ионов O^+ с энергией ~ 1.2 эВ мы связываем с процессом, порог которого составляет 24.3 эВ (E_3). Здесь, на наш взгляд, есть две возможности: либо диссоциация отталкивательного состояния, дающего в пределе CO в основном $X^1\Sigma^+$ и ион O^+ (см. рис. 3) в первом возбужденном состоянии 2D , либо распад обсуждавшегося выше состояния Σ_u^+ на $\text{O}^+(4S)$ и сильно колебательно возбужденный фрагмент $\text{CO}(X^1\Sigma^+)$ с $\sigma > 8$. Возможно, что оба этих процесса идут одновременно.

Что касается особенностей в более высокоэнергетической области спектра, то их интерпретация весьма затруднительна. Измеренные нами интегральные угловые распределения ионов O^+ при энергиях столкновения 60 эВ и более, близки к изотропным (см. рис. 1,а), что не противоречит сделанным выше предположениям и хорошо согласуется с имеющимися данными (например, [4]).

В энергетических спектрах ионов CO^+ нами наблюдалось только два максимума (см. рис. 2), соответствующих группам ионов с тепловыми энергиями и с энергиями в области 1.5 эВ. Такая картина указывает на наличие по крайней мере двух различных процессов, приводящих к диссоциации CO_2^+ ; хотя к настоящему времени обнаружен лишь один потенциал появления (E_p) ионов CO^+ [4]. Тепловые ионы CO^+ , как и ионы O^+ , образуются в результате преддиссоциации низких колебательных уровней состояния $C^2\Sigma_g^+$ (процесс (2)). При этом ион CO^+ также должен быть колебательно возбужден. Относительно второй группы ионов CO^+ можно лишь предположить, что они образуются в процессе типа (1); это подтверждается и данными работы [4].

Л и т е р а т у р а

- [1] Compton R.N., Bardsliey J.N. - Dissociation of Molecules by Slow Electrons. In: "Electron-Molecule Collisions". N-Y. Lond.: Plenum Press, 1984. 570 p.
- [2] Johnson J.P., Franklin J.L. // Int. J. Mass Spectrom. Ion Phys. 1980. V. 33. P. 393-407.
- [3] Gentien E.P., Mentaill J.E. // J. Chem. Phys. 1976. V. 64. P. 1376-1380.
- [4] Crowe A., McConkey J.W. // J. Phys. B., 1974. V. 7. P. 349-361.
- [5] Olivier J.L., Locht R., Momigny J. // Chem. Phys. 1984. V. 84. P. 295-309.

Поступило в Редакцию
22 июня 1988 г.